

## II-8 大潟海岸における波浪の変形の観測(2)

愛媛大学 工学部 王 量〇柿沼 忠男  
立命館大学 大学院 学生員 ニッ谷 敏雄  
立命館大学 大学院 学生員 川合 庄

1. まえがき 京都大学防災研究所では、昭和41年11月に、新潟県大潟町にあつ帝國石油K.K.所有の長大栈橋(海上の長さ: 250 m, 先端における水深: 6 ~ 7 m)に6台のリレー型階段抵抗式波高計を設置した。図-1は、そしした栈橋における波高計の配置図(W-1 ~ 6)を示す。

この研究は、6台の波高計の記録のうち、観測地東W-2とW-5の2地点での波浪記録を解析して、浅海における海岸波浪の変形についての基礎的資料を得ようとしたものである。

2. 大潟海岸における波浪資料の解析 昭和41年12月26日14時~28日10時および昭和42年2月23日8時~25日0時の2時間

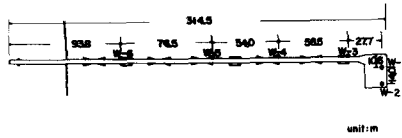


図-1 波高計配置図(W-1~6)

ごとのW-2とW-5での波浪資料を解析し、各種平均波の波高、周期、有義波の波形勾配、分散、skewness, kurtosis, パワースペクトル、およびバイスペクトルを求めた。なお、ここで得た分散、skewness, kurtosis、および両スペクトルは、10分間の波浪記録を1sec/167周でデジタル・トレーサOI-50によって読みとり、京都大学の大型計算機によって求めたものである。skewnessは、上のようにして読みとった値の3乗平均値を分散値の $3/2$ 乗で割り、kurtosisは4乗平均値を分散値の2乗で割ることによって得た。以上の資料は、波浪観測地東から約15km離れた直江津港において得た。

3. 波浪の変形の解析結果 図-2は、有義波のW-2とW-5の1kmの単位距離あたりの波高減衰を示す。この図をみると、減衰の割合は、有義波高が2 mのとき約0.5 cm/m, 3 mのとき約1 cm/mといつた値を示してあるが、こうした値は、従来わが国沿岸で観測して得た海底摩擦係数の値より大きな値を算定させることになると思われる。図-3および4は、それと、W-2とW-5における有義波高の波高比をW-2における有義波高および有義波の波形勾配に対して、海風・陸風を区別して示したものである。これらの図をみると、海風・陸風の区別は明確ではないが、有義波高および有義波の波形勾配が大きくなつて減衰も大きくなつてある。図-5は、W-2とW-5における有義波の波形勾配を微小振幅理論に基づいて求めて、比較したものである。この図をみると、沖側の波形勾配の方が、全般的に大きくなつて見えたが、とくに、海風(5 m/s以上)の場合には、沖側の波形勾配の値が0.03付近ではほぼ同一の値を示しておつたに対して、0.05付近になるとこうした傾向が顕著である。

図-6および7は、それと、有義波の波形勾配とskewnessおよびkurtosisの関係を、W-2とW-5を区別して示したものである。波

形勾配とskewnessおよびkurtosisの関係には、一定の関係、すなわち、波形勾配が大きくなるにつれてskewnessとkurtosisとともに大きくなるという関係があることがLonguet-Higginsによって理論的に示されておつた

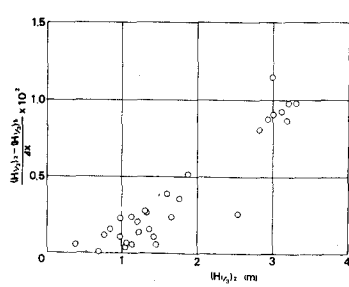


図-2 W-2~5間の波高減衰(有義波)

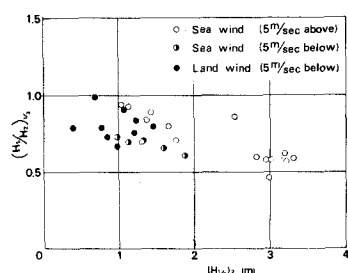


図-3 Hs/H2 と Hs の関係(有義波)

みが、図-6

および7をナ  
ミ、W-2  
とW-5の区  
別は不明確で  
あるが、もう  
した傾向があ  
ると思われる。

图-8は、  
有義波のW-  
2とW-5の  
間の単位距離  
あたりの波高  
減衰とW-2  
におけるskew-  
nessとの関係  
を示したもの  
である。この  
図をみると、  
W-2における  
skewnessが大きくなつにつれて、減衰も大きくなつてゐることが  
わかる。

图-9(a), (b)は、W-2とW-5におけるバイスペクトルを示す。図中には、W-2およびW-5のパワースペクトルも、それぞれ、実線と虚線によって示してある。图-9(a)は、W-2での有義波高1.37m、有義波周期5.8sec、風速8m/sの海風下での波浪に對応するもので、パワースペクトルはピーク附近に若干の増減があるが、非常によく似てゐる。この図をみると、兩者のバイスペクトルはきわめてよく似てゐることがわかる。图-9(b)は、W-2での有義波高1.66m、有義波周期6.4sec、風速14.5m/sの海風下での波浪に對応するもので、skewnessの値はほぼ0.7倍に減少し、パワースペクトルはほぼ0.2および0.3 Nyquistとされた比較的近い周

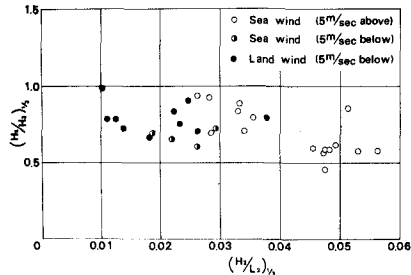


图-4  $H_s/H_{s_0}$  と  $H_s/L_s$  の関係(有義波)

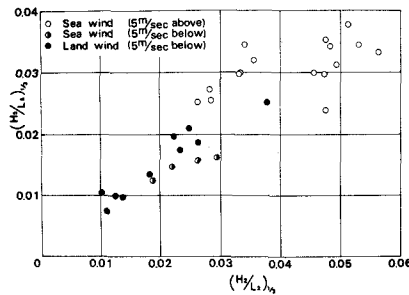


图-5 W-2とW-5の3次形勾配の比較

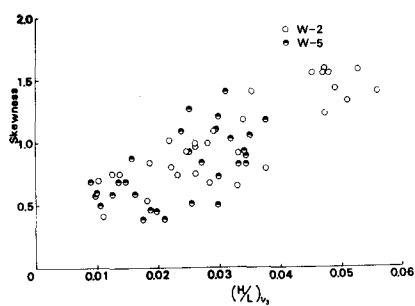


图-6 skewness と 波形勾配の関係

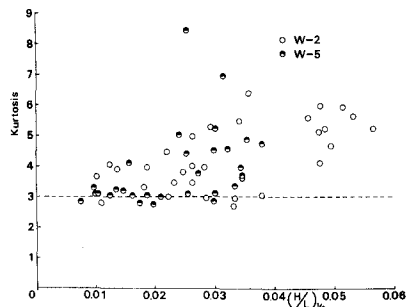


图-7 kurtosis と 波形勾配の関係

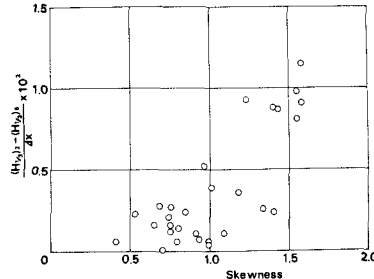
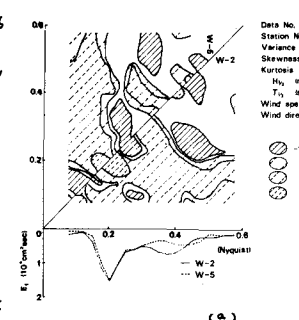
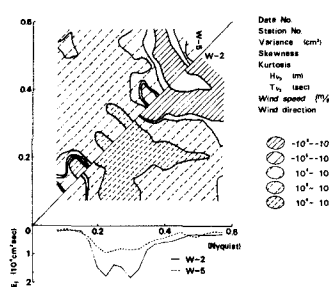


图-8 波高減衰(W-2-5)とskewnessの関係



(a)



(b)

图-9 (a), (b) バイスペクトルの変形例 ( $\Delta$  Nyquist = 0.5 Hz)

波数のところに2つのピークが存在し、両ピークとも減少してゐる。W-2では、第1ピークの成分波( $0.3N_y$ )は自己相互および低周波側との他に相互の干渉が強く、第2ピークの成分波( $0.3N_y$ )は自己相互および低周波側との他に相互の干渉が弱いが、W-5では、もうした両ピークの自己相互の干渉を除いて弱くなつてゐる。